

TPs EDP

Travaux Pratiques N^o 3

Méthodes des différences finies Equation de la chaleur 1D instationnaire

Version du 5 novembre 2025

1 Conditions de Dirichlet

On souhaite résoudre numériquement le problème aux limites (boundary value problem ou B.V.P.) suivant

$$\frac{\partial u}{\partial t}(t,x) - \nu \frac{\partial^2 u}{\partial x^2}(t,x) = f(t,x), \ \forall (t,x) \in]t_0; t_0 + T] \times]a; b[, \tag{1.1}$$

$$u(t_0, x) = u_0(x), \ \forall x \in [a; b],$$
 (1.2)

$$u(t,a) = g_a(t), \ \forall t \in [t_0; t_0 + T],$$
 (1.3)

$$u(t,b) = g_b(t), \ \forall t \in [t_0; t_0 + T].$$
 (1.4)

avec ν un réel strictement positif, $t_0 \in \mathbb{R}$, T > 0, $(a, b) \in \mathbb{R}^2$, a < b. Bien evidemment des conditions de compatibilité sont imposées entre les conditions aux limites et la condition initiale.

On note t^n , $n \in [0, N_t]$ et x_i , $i \in [0, N_x]$ les discrétisations régulières des intervalles $[t_0; t_0 + T]$ et [a; b] avec N_t pas de discrétisation en temps et N_x pas de discrétisation en espace.

On souhaite implémenter deux schémas de résolution de (1.1) :

$$\frac{u_i^{n+1} - u_i^n}{\Delta t} - \nu \frac{u_{i+1}^{n+1} - 2u_i^{n+1} + u_{i-1}^{n+1}}{\Delta x^2} = f_i^{n+1}.$$
 (1.5)

et

$$\frac{u_i^{n+1} - u_i^n}{\Delta t} - \nu \frac{u_{i+1}^n - 2u_i^n + u_{i-1}^n}{\Delta x^2} = f_i^n.$$
(1.6)

où $\Delta t = T/N_t$, $\Delta x = (b-a)/N_x$, $f_i^n = f(t^n, x_i)$ et $u_i^n \approx u(t^n, x_i)$.

On rappelle que le premier schéma est le **schéma d'Euler implicite** et le second le **schéma d'Euler explicite**. Le schéma d'Euler implicite est inconditionnelement stable et le schéma d'Euler explicite est stable sous la condition de C.F.L.

$$\nu \frac{\Delta t}{\Delta x^2} \leqslant \frac{1}{2}.$$

On note, $\forall n \in [0, N_t], U^n$ les vecteurs de dimension $N_x + 1$, de composantes $U_i^n = u_{i-1}^n, \forall i \in [1, N_x + 1]$.

Q. 1 [rapport]

- a. Expliquez en détails comment le schéma implicite (1.5) a été obtenu.
- b. Donner une discrétisation complète du problème (1.1) à (1.4) utilisant (1.5).
- c. Donner une méthodologie permettant de résoudre numériquement ce problème. Si un ou plusieurs systèmes linéaires sont à résoudre, il faudra expliciter les matrices et vecteurs second membre associés.
- d. Déterminer, en expliquant la manière d'opérer, la taille en Octets de la matrice du système lors d'un stockage plein et d'un stockage creux pour Nx+1 valant 5 × 10², 5 × 10³ et 5 × 10⁴. ^a
- a. voir mini-cours sur les matrices creuses

Q. 2 [rapport]

- a. Expliquez en détails comment le schéma explicite (1.6) a été obtenu.
- b. Donner une discrétisation complète du problème (1.1) à (1.4) utilisant (1.6).
- c. Donner une méthodologie permettant de résoudre numériquement ce problème. Si un ou plusieurs systèmes linéaires sont à résoudre, il faudra expliciter les matrices et vecteurs second membre associés.

$\mathbf{2}$ Implémentation et validation

On étudie ce problème aux limites avec les données $t_0=0,\,T=2,\,a=0,\,b=2\pi,\,\nu=2,\,k=5$

 $f(t,x) = -k\sin(kt)\cos(x) + \nu\cos(kt)\cos(x),$ $u_0(x) = \cos(kt_0)\cos(x),$ $g_a(t) = \cos(kt)\cos(a),$ $g_b(t) = \cos(kt)\cos(b).$

Dans ce cas, la solution exacte est donnée par $u_{\text{ex}}(t,x) = \cos(kt)\cos(x)$.





Proposer un autre exemple non trivialement similaire avec une solution exacte (non identiquement nulle!).

Q. 4 [code]



a. Pour résoudre le B.V.P. par un schéma d'Euler implicite, le programme heat1d.implicit DirichletCL est fourni, ainsi que les fonctions fsftxld.eval*, fsftxld.norm et fsftxld.plot (voir l'archive fournie : TP3.tar.gz). Dans les codes fournis, il manque le fichier +head1d/+implicit/Euler DirichletCL.m correspondant à la fonction :

$$[t,x,u]$$
=heat1d.implicit.Euler DirichletCL(BVP,Nt,Nx)

résolvant le B.V.P. par un schéma d'Euler implicite avec

- BVP : structure, définie dans heat1d.implicit DirichletCL, contenant l'ensemble des données du B.V.P. à résoudre.
- Nt : nombre de pas de discrétisation en temps,
- Nx : nombre de pas de discrétisation en espace,
- t : discrétisation en temps (dimension Nt+1), $t(n) = t^{n-1}, \forall n \in [1, N_t + 1],$
- x : discrétisation en espace (dimension Nx+1), $x(i) = x_{i-1}, \forall i \in [1, N_x + 1],$
- u: u(i,n) solution approchée au temps t(n) et point x(i) (dimension (Nx+1,Nt+1)).

Cette fonction devra de plus utiliser l'objet inputParser a de Matlab/Octave pour permettre de spécifier le stockage creux (sparse matrix) ou le stockage plein (full matrix) de la matrice associée au système linéaire à résoudre à chaque itération. Par défaut, le stockage sera creux, et, pour utiliser le stockage plein, on utilisera :

$$[t,x,u]$$
=heat1d.implicit.Euler_DirichletCL(BVP,Nt,Nx,'sparse',false)

Ecrire cette fonction.

- b. Ecrire un programme (fichier +head1d/+implicit/bench mat.m comparant les temps d'execution de la fonction head1d.implicit.Euler DirichletCL utilisant un stockage plein ou un stockage creux de la matrice pour différentes valeurs de (Nt,Nx).
- a. voir mini-cours Matlab avancé

Q. 5 ***

a. [code] Pour résoudre le B.V.P. par un schéma d'Euler explicite, le programme heat1d.explicit_DirichletCL est fourni, ainsi que les fonctions fsftx1d.eval, fsftx1d.norm et fsftx1d.plot (voir fichier TP3.tar.gz). Dans les codes fournis, il manque le fichier +head1d/+explicit/Euler_DirichletCL.m correspondant à la fonction :

$$[t,x,u]$$
=head1d.explicit.Euler DirichletCL(EDP,Nt,Nx)

résolvant le B.V.P. par un schéma d'Euler explicite. Ecrire cette fonction, sachant que ses paramètres sont identiques à ceux de la fonction head1d.implicit.Euler DirichletCL et qu'il n'y pas de paramètres optionnels.

- b. [rapport] Dans le programme heat1d.explicit DirichletCL, changer le paramètre Nt de 2100 à 2000. Que se passe-t'il lors de la résolution? Quel est le résultat théorique qui intervient?
- *. fsftx1d abréviation de functionnal space of functions in time and 1d in space

3 Stabilité : approche matricielle

Soient $U^{[0]} \in \mathbb{R}^d$, $\mathbb{E} \in \mathcal{M}_d(\mathbb{R})$ inversible et $\mathbb{F} \in \mathcal{M}_d(\mathbb{R})$. On note $(U^{[n]})_{n \in \mathbb{N}}$, la suite de \mathbb{R}^d , définie par le schéma générique

$$\mathbb{E}\boldsymbol{U}^{[n+1]} = \mathbb{F}\boldsymbol{U}^{[n]} + \boldsymbol{c}^{[n]}, \ \forall n \in \mathbb{N}$$
(3.1)

avec $\boldsymbol{c}^{[n]} \in \mathbb{R}^d$ indépendant des $(\boldsymbol{U}^{[n]})_{n \in \mathbb{N}}$.

En notant $\mathbb{B} \stackrel{\text{\tiny def}}{=} \mathbb{E}^{-1} \mathbb{F}$ et $\boldsymbol{g}^{[n]} = \mathbb{E}^{-1} \boldsymbol{c}^{[n]}$, on a alors

$$\boldsymbol{U}^{[n+1]} = \mathbb{B}\boldsymbol{U}^{[n]} + \boldsymbol{q}^{[n]}.$$

Le schéma (3.1) est dit stable si une petite perturbation de la donnée initiale $U^{[0]}$ n'engendre pas de grandes erreurs en itérant.

On note $\boldsymbol{\varepsilon} \in \mathbb{R}^d$ une petite perturbation et $\boldsymbol{V}^{[0]} = \boldsymbol{U}^{[0]} + \boldsymbol{\varepsilon}$. On note $(\boldsymbol{V}^{[n]})_{n \in \mathbb{N}}$, la suite de \mathbb{R}^d , définie par

$$\boldsymbol{V}^{[n+1]} = \mathbb{B}\boldsymbol{V}^{[n]} + \boldsymbol{a}^{[n]}.$$

Une simple récurrence permet d'établir que

$$V^{[n]} = U^{[n]} + \mathbb{R}^n \varepsilon$$

Si $\rho(\mathbb{B}) > 1$, alors $\lim_{n \to \infty} \|\mathbb{B}^n \varepsilon\| = +\infty$. Il est donc nécessaire d'avoir $\rho(\mathbb{B}) \leq 1$.

Pour calculer numériquement le rayon spectral d'une matrice avec Matlab/Octave, on peut utiliser la fonction eigs avec comme argument 'lm' (ou 'largestabs') pour déterminer les valeurs propres de plus grand module.

Pour calculer les 4 plus grandes valeurs propres de $\mathbb{B} \stackrel{\text{def}}{=} \mathbb{E}^{-1}\mathbb{F}$, il suffit d'utiliser la commande

$$[V,D] = eigs(inv(E)*F,4,'lm');$$

mais le calcul de \mathbb{E}^{-1} est trop couteux et cette matrice n'est pas forcément creuse même si \mathbb{E} l'est! Par exemple, la matrice $\mathbb{K} \in \mathcal{M}_d(\mathbb{R})$ définie par

$$\mathbb{K} = \begin{pmatrix} -2 & 1 & 0 & \dots & 0 \\ 1 & -2 & 1 & \ddots & \vdots \\ 0 & \ddots & \ddots & \ddots & 0 \\ \vdots & \ddots & \ddots & \ddots & 1 \\ 0 & \dots & 0 & 1 & -2 \end{pmatrix}$$

a pour inverse une matrice dont tous les élements sont non nuls.

On propose ici deux stratégies : la première utilisant un problème aux valeurs propres généralisé et la seconde utilisant une possibilité de la fonction eigs permettant de remplacer la matrice fournie en premier paramètre par une fonction retournant le produit de cette matrice par un vecteur.

3.1 Problème aux valeurs propres généralisé

On peut noter que si $(\lambda, \boldsymbol{w})$ est un mode propre de $\mathbb{B} \stackrel{\text{def}}{=} \mathbb{E}^{-1}\mathbb{F}$, on a

$$\mathbb{B}\boldsymbol{w} = \lambda \boldsymbol{w} \iff \mathbb{F}\boldsymbol{w} = \lambda \mathbb{E}\boldsymbol{w}.$$

Définition 3.1 (Problème aux valeurs propres généralisé). Soient \mathbb{A} et \mathbb{B} dans $\mathcal{M}_d(\mathbb{C})$. On cherche $(\lambda, \boldsymbol{u}) \in \mathbb{C} \times \mathbb{C}^d \setminus \{0\}$ tel que

$$\mathbb{A}\boldsymbol{u} = \lambda \mathbb{B}\boldsymbol{u}.$$

Le scalaire λ est appelée valeur propre généralisée et \boldsymbol{u} est le vecteur propre généralisé associé. Si \mathbb{B} est inversible alors $(\lambda, \boldsymbol{u})$ est un mode propre de $\mathbb{B}^{-1}\mathbb{A}$.

Pour calculer numériquement les 4 plus grandes valeurs propres généralisés (en module) décrit en Définition 3.1, on utilise **avec Matlab** la commande

On a alors $V \in \mathcal{M}_{d,4}(\mathbb{C})$, et $D \in \mathcal{M}_{4,4}(\mathbb{C})$ diagonale vérifiant

$$A*V=B*V*D$$

c'est à dire (D(i,i), V(:,i)) est un mode propre généralisé.

Avec Octave, la matrice B doit être hermitienne définie positive (à vérifier). Or le problème aux valeurs propres généralisé est equivalent à

$$\mathbb{B}^* \mathbb{A} \boldsymbol{u} = \lambda \mathbb{B}^* \mathbb{B} \boldsymbol{u}.$$

On pourra utiliser avec Octave la commande

L'inconvénient de cette stratégie est que le caractère creux B'*A et de B'*B n'est pas forcément assuré même si B et A le sont.

3.2 Fonctions eigs et $x \mapsto \mathbb{B}x$

Sous Matlab et Octave, il est possible d'utiliser la commande (trop couteuse)

$$[V,D]=eigs(inv(E)*F,4,'lm');$$

pour calculer numériquement les 4 plus grandes valeurs propres en module de $\mathbb{B} \stackrel{\text{def}}{=} \mathbb{E}^{-1}\mathbb{F}$. Cette commande peut aussi s'écrire à l'aide d'une fonction en premier paramètre suivi de la dimension

$$[V,D]=eigs(@(x) inv(E)*F*x, d,4,'lm');$$

On peut alors remarquer qu'il n'est pas nécessaire de calculer l'inverse de \mathbb{E} ! En effet, pour tout $\boldsymbol{x} \in \mathbb{C}^d$, calculer

$$oldsymbol{y} = \mathbb{E}^{ ext{-}1} \mathbb{F} oldsymbol{x}$$

revient à résoudre le système linéaire

$$\mathbb{E} \boldsymbol{y} = \mathbb{F} \boldsymbol{x}.$$

On pourra alors utiliser la commande

$$[V,D]=eigs(@(x) E\setminus (F*x),4,'lm');$$

ou

$$[V,D]=eigs(@(x) mldivide(E,F*x),4,'lm');$$

Q. 6 ***

- a. [rapport] Montrer que la discrétisation complète du problème (1.1) à (1.4) utilisant (1.5) (voir Q.1) peut s'écrire sous la forme (3.1) où l'on explicitera les matrices \mathbb{E} et \mathbb{F} , ainsi que le vecteur $\mathbf{c}^{[n]}$.
- b. [code] Ecrire un programme head1d.implicit_Euler_DirichletCL_spradius permettant de calculer numériquement le rayon spectral de la matrice $\mathbb B$ à Nx fixé et en faisant varier Nt de telle sorte que la condition C.F.L. ne soit pas toujours vérifiée. On affichera pour chaque valeur de Nt, le rayon spectral de $\mathbb B$ et la valeur de $\nu \frac{h_t}{h_z^2}$.
- c. [rapport] Que peut-on tirer/conjecturer des résultats du programme précédent?

Q. 7 ☆★★

- a. [rapport] Montrer que la discrétisation complète du problème (1.1) à (1.4) utilisant (1.6) (voir Q.2) peut s'écrire sous la forme (3.1) où l'on explicitera les matrices \mathbb{E} et \mathbb{F} , ainsi que le vecteur $\mathbf{c}^{[n]}$.
- b. [code] Ecrire un programme head1d.explicit_Euler_DirichletCL_spradius permettant de calculer numériquement le rayon spectral de la matrice $\mathbb B$ à Nx fixé et en faisant varier Nt de telle sorte que la condition C.F.L. ne soit pas toujours vérifiée. On affichera pour chaque valeur de Nt, le rayon spectral de $\mathbb B$ et la valeur de $\nu \frac{h_t}{h_c^2}$.
- c. [rapport] Que peut-on tirer/conjecturer des résultats du programme précédent?

4 Ordres

Les schémas d'Euler explicite et d'Euler implicite sont d'ordre 2 en espace et d'ordre 1 en temps, c'est à dire que l'erreur se comporte comme un $\mathcal{O}(h_x^2) + \mathcal{O}(h_t)$.

Les figures 1 sont une représentation possible de ce comportement. Elles ont été établies avec $a=-1, b=1, t_0=0, T=1, \nu=1/2$, et les autres données ont été choisies pour avoir

$$u(t,x) = \cos(kt)\cos(t+kx), \ k=2$$

comme solution exacte.

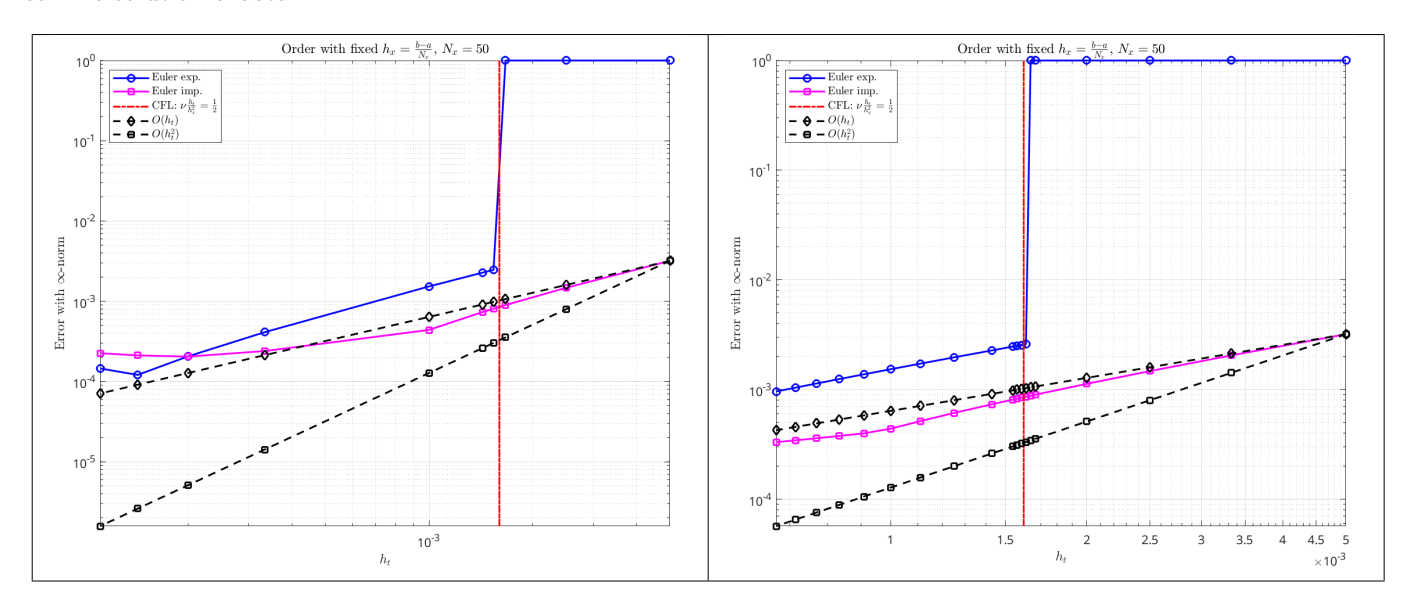


FIGURE 1 - Ordre, figure de gauche N_t dans [200:200:600,650,700,1000:2000:10000] [200:100:600,610:10:650,700:100:1500]



- a. [rapport] Expliquer tout ce que l'on peut interpréter/comprendre à partir de ces deux figures.
- b. [code] Ecrire un programme head1d.ordre DirichletCL permettant de générer ces deux figures le plus exactement possible.

Application 5

Comme application possible nous allons résoudre numériquement par le schéma implicite d'Euler le problème de conduction thermique dans une barre de longueur L=6 :

$$\frac{\partial u}{\partial t}(t,x) - \nu \frac{\partial^2 u}{\partial x^2}(t,x) = 0, \ \forall (t,x) \in]0;T] \times]0;L[, \tag{5.1}$$

$$u(t_0, x) = u_0(x), \ \forall x \in [0; L],$$
 (5.2)

$$u(t,0) = u_q(t), \ \forall t \in [0;T],$$
 (5.3)

$$u(t,L) = u_d(t), \forall t \in [0;T]. \tag{5.4}$$

avec $T = 10, u_0(x) = 10, \forall x \in [0, L]$

$$u_g(t) = \begin{cases} 10 + 90t, & \forall t \in [0, 1] \\ 100, & \forall t > 1 \end{cases}$$

$$u_g(t) = \begin{cases} 10 + 90t, & \forall t \in [0, 1] \\ 100, & \forall t > 1 \end{cases}$$
$$u_d(t) = \begin{cases} 10 + 70t, & \forall t \in [0, 1] \\ 80, & \forall t > 1 \end{cases}$$



- a. [code] Ecrire le programme heat1d.bar01 permettant de résoudre ce problème par le schéma d'Euler implicite.
- b. [rapport] Executer ce programme pour différentes valeurs de ν (par exemple $\nu = 0.1, \nu = 1$ et $\nu = 3$. Qu'observe-t'on?

6 Conditions aux limites génériques

On souhaite résoudre numériquement le B.V.P. suivant

$$\frac{\partial u}{\partial t}(t,x) - \nu \frac{\partial^2 u}{\partial x^2}(t,x) = f(t,x), \qquad \forall (t,x) \in]t_0; t_0 + T] \times]a; b[, \tag{6.1}$$

$$u(t_0, x) = u_0(x), \qquad \forall x \in [a; b], \tag{6.2}$$

$$\delta_a u(t,a) + \mu_a \frac{\partial u}{\partial x}(t,a) = g_a(t), \qquad \forall t \in [t_0; t_0 + T], \tag{6.3}$$

$$\delta_b u(t,b) + \mu_b \frac{\partial u}{\partial x}(t,b) = g_b(t), \qquad \forall t \in [t_0; t_0 + T], \tag{6.4}$$

avec ν un réel strictement positif, $t_0 \in \mathbb{R}$, T > 0, $(a, b) \in \mathbb{R}^2$, a < b, $(\delta_a, \delta_b) \in [0, 1]^2$. Pour s'assurer de l'existence et l'unicité d'une solution à ce problème, on prend

$$\begin{cases} \mu_a \leqslant 0 & \text{si } \delta_a = 1, \\ \mu_a < 0 & \text{si } \delta_a = 0, \end{cases} \text{ et } \begin{cases} \mu_b \geqslant 0 & \text{si } \delta_b = 1, \\ \mu_b > 0 & \text{si } \delta_b = 0. \end{cases}$$

$$(6.5)$$

Q. 10 [rapport]

- a. Ecrire de de manière détaillée une discrétisation complète de (6.1) à (6.4) utilisant un schéma implicite.
- b. Montrer que cette discrétisation complète s'écrit sous la forme (3.1) où l'on explicitera les matrices \mathbb{E} et \mathbb{F} , ainsi que le vecteur $\mathbf{c}^{[n]}$.

Q. 11 🛣

- a. [code] En utilisant une méthodologie similaire à celle du problème avec conditions de Dirichlet, écrire un programme heat1d.implicit genCL permettant de
 - résoudre par un schéma implicite le problème (6.1) à (6.4).
 - représenter les solutions exactes et numériques,
 - représenter l'erreur commise.

Lors de la programmation, les données associées aux conditions aux limites seront intégrées à la structure RVP

- b. [code] Ecrire un programme head1d.implicit_genCL_spradius permettant de calculer numériquement le rayon spectral de la matrice $\mathbb{B} = \mathbb{E}^{-1}\mathbb{F}$ à Nx fixé et en faisant varier Nt de telle sorte que la condition C.F.L. ne soit pas toujours vérifiée. On affichera pour chaque valeur de Nt, le rayon spectral de \mathbb{B} et la valeur de $\nu \frac{h_t}{h^2}$.
- c. [rapport] Que peut-on tirer/conjecturer des résultats du programme précédent?

7 Schéma de Crank-Nicolson

Le schéma de Crank-Nicolson pour la discrétisation de l'équation de la chaleur (6.1) est donné par

$$\frac{u_i^{n+1} - u_i^n}{\Delta t} - \frac{\nu}{2} \left(\frac{u_{i+1}^n - 2u_i^n + u_{i-1}^n}{\Delta x^2} + \frac{u_{i+1}^{n+1} - 2u_i^{n+1} + u_{i-1}^{n+1}}{\Delta x^2} \right) = \frac{1}{2} \left(f_i^n + f_i^{n+1} \right). \tag{7.1}$$

Ce schéma est d'ordre 2 en temps et en espace et il est inconditionnellement stable.

Q. 12 [rapport]

- a. Ecrire de **de manière détaillée** une discrétisation complète de (6.1) à (6.4) utilisant le schéma de Crank-Nicolson (7.1).
- b. Explicitez le système linéaire à résoudre à chaque itération en temps.

Q. 13 ****

- a. [code] En utilisant une méthodologie similaire à celle décrite en section 6, Q.10 et Q.11, écrire un programme heat1d.CrankNicolson_genCL permettant de
 - résoudre par le schéma de Crank-Nicolson le problème (6.1) à (6.4).
 - représenter les solutions exactes et numériques,
 - représenter l'erreur commise.
- b. [code] Ecrire un programme headld.CrankNicolson_genCL_spradius permettant de calculer numériquement

le rayon spectral de la matrice $\mathbb{B}=\mathbb{E}^{-1}\mathbb{F}$ à Nx fixé et en faisant varier Nt de telle sorte que la condition C.F.L. ne soit pas toujours vérifiée. On affichera pour chaque valeur de Nt, le rayon spectral de \mathbb{B} et la valeur de $\nu \frac{h_t}{h_t^2}$.

c. [rapport] Que peut-on tirer/conjecturer des résultats du programme précédent?

La figure 2 est une représentation possible du comportement des shémas d'Euler implicite et de Crank-Nicolson. Elle a été établie avec $a=0,\ b=2\pi,\ t_0=0,\ T=2,\ \nu=2,\ \delta_1=\delta_b=1,\ \mu_a=-1,\ \mu_b=2$ et les autres données ont été choisies pour avoir

$$u(t,x) = \cos(kt)\cos(x), \ k = 5$$

comme solution exacte. On peut noter que le schéma explicite d'Euler n'est pas proposé car il n'a pas été implémenté avec des conditions aux limites générique! Toutefois, la barrière C.F.L. a été représentée.

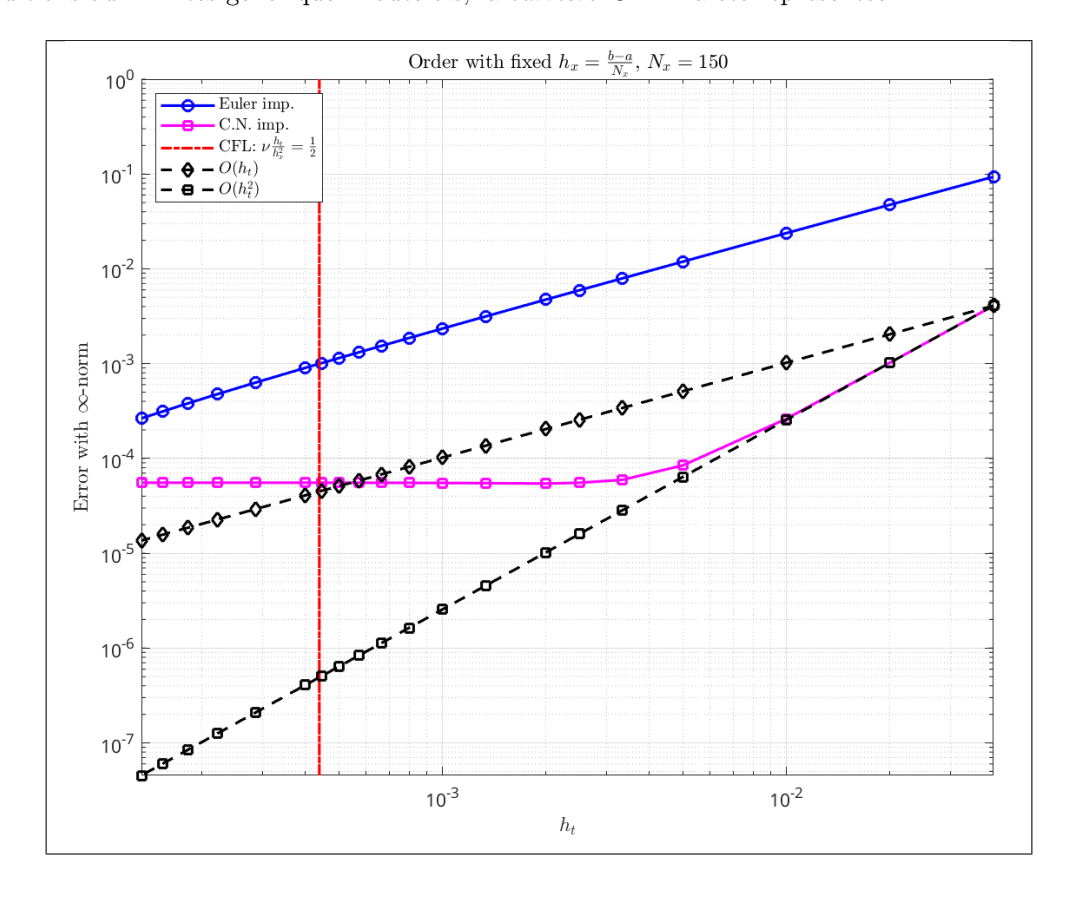


FIGURE 2 – Ordre, N_t dans [50,100,200:200:1000,1500:5000,7000:2000:15000]

Q. 14

- a. [rapport] Expliquer tout ce que l'on peut interpréter/comprendre à partir de la figure 2.
- b. [code] Ecrire un programme head1d.ordre genCL permettant de la figure 2 le plus exactement possible.